

Оценка работы _____
Преподаватель _____

Отчет по лабораторной работе № 2
по дисциплине «Физические основы микро- и наноэлектроники»
Тема: «ИССЛЕДОВАНИЕ ХАРАКТЕРИСТИК И ПАРАМЕТРОВ
ЭЛЕКТРОННО-ДЫРОЧНЫХ ПЕРЕХОДОВ»

Студент: _____ ФИО Нухкадиев
Н.Р.
Группа: РИЗ - 121105у

Преподаватель: _____ ФИО Дурнаков А.А.

Екатеринбург

2024

1 ЦЕЛЬ ЛАБОРАТОРНОЙ РАБОТЫ

Ознакомиться с физическими основами работы электронно-дырочных переходов, приобрести навыки экспериментального исследования электрических пробоев переходов, исследовать влияние материала полупроводника и температуры окружающей среды на характеристики и параметры пробоев электронно-дырочных переходов.

2 Типовые параметры исследуемых электронно-дырочных переходов

Таблица 1.1 – Параметры стабилитрона с полевым пробоем.

Параметры	КС156А
Напряжение стабилизации номинальное при ($I_{СТ,МА}$), В	5,6 (10)
Разброс напряжения стабилизации	$\pm 10\%$
Максимальный ток стабилизации, мА	55
Минимальный ток стабилизации, мА	3
Прямое напряжение при $I_{ПР}=50\text{mA}$ (не более), В	1
Постоянный обратный ток при $U_{ОБР}=0,7U_{СТНОМ}$, мА	1
Постоянный прямой ток, мА	
Дифференциальное сопротивление ($I_{СТ,МА}$), Ом	46 (10)
Температурный коэффициент напряжения стабилизации, %/град	$\pm 0,05$
Рассеиваемая мощность, мВт	300

Таблица 1.2 – Параметры стабилитрона с лавинным пробоем.

2 СХЕМЫ И ЗАМЕРЫ ЭКСПЕРИМЕНТАЛЬНЫХ ИССЛЕДОВАНИЙ

При экспериментальных исследованиях электронно-дырочных переходов в режиме электрического пробоя снимаются вольт–амперные характеристики для разных значений рабочих температур. Причем лабораторная установка позволяет исследовать электронно-дырочные переходы с полевым и лавинным пробоем, исследовать прямые и обратные ветви вольт–амперной характеристики. При снятии прямой ветви ВАХ электронно-дырочного перехода (рис. 1) задаются значениями прямого тока и измеряют напряжение на электронно-дырочном переходе, соответствующее заданному значению тока. Напряжение регулируется с помощью источника входного напряжения, которое может изменяться в диапазоне от 0 до 5 В.

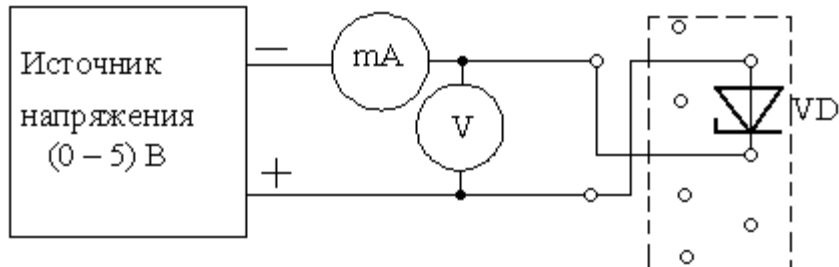


Рис. 1. Схема лабораторной установки для снятия прямой ветви ВАХ электронно-дырочного перехода.

При снятии обратной ветви ВАХ электронно-дырочного перехода, работающего в режиме электрического пробоя, (рис. 2) между источником входного напряжения и стабилитроном включается резистор $R_{\text{огр}}$, значение которого определяется наибольшим входным напряжением $U_{\text{вх}} \text{ макс}$, максимальным током стабилизации $I_{\text{ст}} \text{ макс}$. При проведении

экспериментальных исследований необходимо задаваться значениями обратного тока электронно-дырочного перехода, при этом измеряя значения напряжения на переходе.

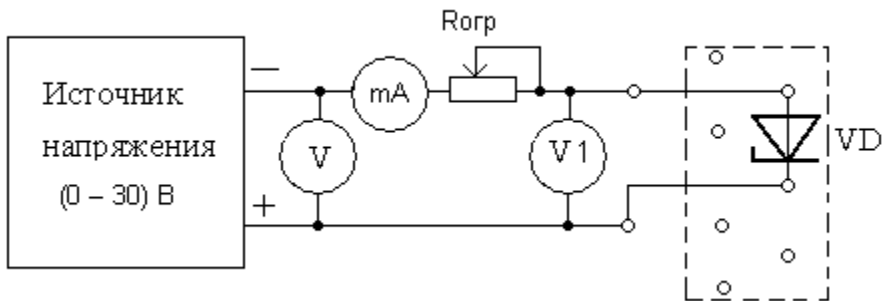


Рис.2. Схема лабораторной установки для снятия обратной ветви ВАХ перехода, работающего в режиме электрического пробоя.

Миллиамперметр (mA) измеряет ток, протекающий через обратно смещённый электронно-дырочный переход, вольтметр (V_1) служит для измерения напряжения на переходе, вольтметр(V) – для измерения напряжения, получаемого от источника напряжения, а $R_{\text{огр.}}$ – резистор, величина сопротивления которого определяет исходное положение рабочей точки на вольт–амперной характеристике электронно–дырочного перехода.

Таблица 2.1 – Д814 стабилитрон с лавинным пробоем: прямое включение.

$I_{\text{прям}}, \text{mA}$	0	5	10	30	50
$U_{\text{прям}}, \text{В}$ при $T_1=20, \text{C}$	0	0,64	0,66	0,74	0,78
$U_{\text{прям}}, \text{В}$ при $T_1=70, \text{C}$	0	0,6	0,62	0,70	0,74

Таблица 2.2 – Экспериментальные данные: обратное включение.

$I_{\text{обр}}$, мА	1	2	3	10	16	22	24	$I_{\text{ст макс}}$
$U_{\text{обр}}$, В $T_1=20^\circ\text{C}$	8,23	13,40	13,49	13,64	13,73	13,82	13,9	
$U_{\text{обр}}$, В $T_2=70^\circ\text{C}$	13,67	13,72	13,8	13,92	13,99	14,04	14,08	

Таблица 2.3 – КС156А стабилитрон с полевым пробоем: прямое включение.

$I_{\text{прям}}$, мА	0	5	10	30	50
$U_{\text{прям}}$, В при $T_1=20^\circ\text{C}$	0	0,66	0,69	0,72	0,78
$U_{\text{прям}}$, В при $T_1=70^\circ\text{C}$	0	0,61	0,63	0,65	0,73

Таблица 2.4 – Экспериментальные данные: обратное включение.

$I_{\text{обр}}$, мА	1	4	10	20	30	39	47	$I_{\text{ст макс}}$
$U_{\text{обр}}$, В $T_1=20^\circ\text{C}$	4,73	5,39	5,69	5,84	5,86	5,89	5,91	5,93
$U_{\text{обр}}$, В $T_2=70^\circ\text{C}$	4,61	5,28	5,60	5,83	5,84	5,93	5,96	5,99

3 Графики вольт амперных характеристик исследуемых электронно-дырочных переходов

Рис. 3. ВАХ прямой ветви стабилитрона Д814Д

Рис. 4. ВАХ обратной ветви стабилитрона Д814Д

Рис. 5. ВАХ прямой ветви стабилитрона КС156А

Рис. 6. ВАХ обратной ветви стабилитрона КС156А

3 РАСЧЁТНАЯ ЧАСТЬ

1. Для всех исследуемых электронно-дырочных переходов, предназначенных для работы в режиме электрического пробоя, определить значения $I_{ст\ макс}$ и $I_{ст\ мин}$. Номинальный ток стабилизации перехода определить по формуле $I_{ст\ ном} = \frac{I_{ст\ макс} + I_{ст\ мин}}{2}$.

Таблица 3.1 – Токи стабилизации (Макс. и Мин.).

Прямая ветвь	Д814	$I_{ст\ макс} = 50\text{ mA}$ $I_{ст\ мин} = 0\text{ mA}$	$I_{ст\ ном} = 25\text{ mA}$
	КС156А	$I_{ст\ макс} = 50\text{ mA}$	$I_{ст\ ном} = 25\text{ mA}$

		$I_{ct\min} = 0 \text{ mA}$	
Обратная ветвь	Д814	$I_{ct\max} = 24 \text{ mA}$ $I_{ct\min} = 1 \text{ mA}$	$I_{ct\text{ном}} = 12,5 \text{ mA}$
	KC156A	$I_{ct\max} = 55 \text{ mA}$ $I_{ct\min} = 1 \text{ mA}$	$I_{ct\text{ном}} = 28 \text{ mA}$

2. Для всех исследуемых переходов, используя прямые ветви характеристик, снятые при комнатной и повышенной температурах, определить значения температурного коэффициента напряжения прямой ветви $\text{TK H}_{\text{прям}} = \frac{\Delta U_{\text{прям}}}{\Delta T}$ при $I_{\text{прям}} = I_{ct\text{ном}}$.

Таблица 3.2 – Расчёт прямого температурного коэффициента напряжения.

Д814	20 С	$\text{TK H}_{\text{прям}} = \frac{\Delta U_{\text{прям}}}{\Delta T} = \frac{(0,78 - 0,74)B}{50C} = 0,0008 B/C$
	70 С	$\text{TK H}_{\text{прям}} = \frac{\Delta U_{\text{прям}}}{\Delta T} = \frac{(0,74 - 0,70)B}{50C} = 0,0008 B/C$
KC156A	20 С	$\text{TK H}_{\text{прям}} = \frac{\Delta U_{\text{прям}}}{\Delta T} = \frac{(0,78 - 0,72)B}{50C} = 0,0012 B/C$
	70 С	$\text{TK H}_{\text{прям}} = \frac{\Delta U_{\text{прям}}}{\Delta T} = \frac{(0,73 - 0,65)B}{50C} = 0,0016 B/C$

3. Для всех исследуемых переходов, используя обратные ветви вольт–амперных характеристик, снятые при различных температурах, определить значение температурного коэффициента напряжения пробоя $\text{TK H}_{\text{проб}} = \frac{\Delta U'_{\text{обр}}}{\Delta T}$

при $I_{\text{обр}} = I_{ct\text{ном}}$.

Таблица 3.3 – Расчёт температурного коэффициента напряжения пробоя.

Д814	20 С	$\text{TK H}_{\text{проб}} = \frac{\Delta U'_{\text{обр}}}{\Delta T} = \frac{(13,9 - 13,73)B}{50C} = 0,0034 B/C$
	70 С	$\text{TK H}_{\text{проб}} = \frac{\Delta U'_{\text{обр}}}{\Delta T} = \frac{(14,08 - 13,99)B}{50C} = 0,0018 B/C$
KC156A	20 С	$\text{TK H}_{\text{проб}} = \frac{\Delta U'_{\text{обр}}}{\Delta T} = \frac{(5,93 - 5,86)B}{50C} = 0,0014 B/C$
	70 С	$\text{TK H}_{\text{проб}} = \frac{\Delta U'_{\text{обр}}}{\Delta T} = \frac{(5,99 - 5,84)B}{50C} = 0,003 B/C$

4. Для всех исследуемых переходов по вольт–амперным характеристикам, снятым при комнатной температуре, определить для области пробоя:

а) дифференциальное сопротивление обратно смещённого перехода

$$r_{ct} = \frac{\Delta U_{обр}}{I_{ct\text{ макс}} - I_{ct\text{ мин}}}, \text{ где } \Delta U_{обр} \text{ соответствует изменениям тока от } I_{ct\text{ макс}} \text{ до } I_{ct\text{ мин}};$$

Таблица 3.4 – Расчёт дифференциального сопротивления обратно смещённого перехода.

Прямая ветвь	Д814	$r_{ct} = \frac{\Delta U_{пр}}{I_{ct\text{ макс}} - I_{ct\text{ мин}}} = \frac{(0,78 - 0,74)}{50mA} = 0,8 Oм$
	КС156А	$r_{ct} = \frac{\Delta U_{пр}}{I_{ct\text{ макс}} - I_{ct\text{ мин}}} = \frac{(0,78 - 0,72)}{50mA} = 1,2 Oм$
Обратная ветвь	Д814	$r_{ct} = \frac{\Delta U_{обр}}{I_{ct\text{ макс}} - I_{ct\text{ мин}}} = \frac{(13,9 - 13,73)}{12,5mA} = 1,36 Oм$
	КС156А	$r_{ct} = \frac{\Delta U_{обр}}{I_{ct\text{ макс}} - I_{ct\text{ мин}}} = \frac{(5,93 - 5,86)}{28mA} = 2,5 Oм$

б) статическое сопротивление перехода $R_0 = U_{ct\text{ ном}} / I_{ct\text{ ном}}$.

Таблица 3.5 – Расчёт статического сопротивления перехода.

Прямая ветвь	Д814	$R_0 = \frac{U_{ct\text{ ном}}}{I_{ct\text{ ном}}} = \frac{0,78B}{50mA} = 15,6 Oм$
	КС156А	$R_0 = \frac{U_{ct\text{ ном}}}{I_{ct\text{ ном}}} = \frac{0,77B}{50mA} = 15,4 Oм$
Обратная ветвь	Д814	$R_0 = \frac{U_{ct\text{ ном}}}{I_{ct\text{ ном}}} = \frac{13,9}{10mA} = 1390 Oм$

	KC156A	$R_0 = \frac{U_{ct\ hom}}{I_{ct\ hom}} = \frac{5,93}{10\ mA} = 593\ \Omega$
--	--------	---

5. Для переходов с различным механизмом пробоя определить сопротивление базы. Для этого рассчитать дифференциальное сопротивление перехода в области «больших» токов прямой ветви вольт-амперной характеристики: $r_\delta \approx r_{\text{диф}} = (U_2 - U_1) / (I_2 - I_1)$, где I_2 – максимальное измеренное значение прямого тока перехода; I_1 – составляет примерно $0,8 I_2$; значения прямого напряжения U_2, U_1 соответствуют значениям тока I_2, I_1 .

Таблица 3.6 – Расчёт дифференциального (базы) сопротивления.

Прямая ветвь	Д814, 20 С	$r_\delta \approx \frac{(U_2 - U_1)}{(I_2 - I_1)} = \frac{(0,78 - 0,74)B}{(50 - 30)mA} = 2\ \Omega$
	Д814, 70 С	$r_\delta \approx \frac{(U_2 - U_1)}{(I_2 - I_1)} = \frac{(0,75 - 0,70)B}{(50 - 30)mA} = 2,5\ \Omega$
	KC156A, 20 С	$r_\delta \approx \frac{(U_2 - U_1)}{(I_2 - I_1)} = \frac{(0,78 - 0,72)B}{(50 - 30)mA} = 3\ \Omega$
	KC156A, 70 С	$r_\delta \approx \frac{(U_2 - U_1)}{(I_2 - I_1)} = \frac{(0,73 - 0,65)B}{(50 - 30)mA} = 4\ \Omega$
Обратная ветвь	Д814, 20 С	$r_\delta \approx \frac{(U_2 - U_1)}{(I_2 - I_1)} = \frac{(13,9 - 13,73)B}{(25 - 16)mA} = 18\ \Omega$
	Д814, 70 С	$r_\delta \approx \frac{(U_2 - U_1)}{(I_2 - I_1)} = \frac{(14,08 - 13,99)B}{(25 - 16)mA} = 10\ \Omega$
	KC156A, 20 С	$r_\delta \approx \frac{(U_2 - U_1)}{(I_2 - I_1)} = \frac{(5,93 - 5,86)B}{(55 - 30)mA} = 2,8\ \Omega$
	KC156A, 70 С	$r_\delta \approx \frac{(U_2 - U_1)}{(I_2 - I_1)} = \frac{(5,99 - 5,84)B}{(55 - 30)mA} = 6\ \Omega$

4 ОБРАБОТКА РЕЗУЛЬТАТОВ ЭКСПЕРИМЕНТА

При повышении температуры стабилитрона до 70 С, при таких же значениях тока, то значения напряжения значительно меньше, чем при комнатной температуре.

Сопротивления (дифференциальное и статическое) у KC156A больше, чем у Д814. А сопротивление базы значительно больше. На прямой ветви

статическое сопротивление меньше у КС156А, чем у Д814. На обратной ветви статическое сопротивление Д814 больше, чем у КС156А.